

Kapitel 3.5 (Seite 84):

$$\tilde{D}(\omega, \vec{x}) = \epsilon(\omega) \tilde{E}(\omega, \vec{x})$$

$$\epsilon(\omega) \in \mathbb{C} ; \quad \epsilon^*(\omega) = \epsilon(-\omega);$$

$$\lim_{\omega \rightarrow 0} \epsilon(\omega) = \epsilon = \epsilon_0; \quad \lim_{\omega \rightarrow \infty} \epsilon(\omega) = 1$$

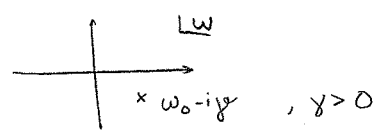
"infraroter Limes" "freier Limes"

Wir können etwas mehr über die Struktur von $\epsilon(\omega)$ erfahren, indem wir Kausalitätsargumente betrachten:

Seite 84: $\epsilon(\omega) = 1 + \tilde{f}_{\text{ret}}(\omega) ; \quad \tilde{f}_{\text{ret}}(\omega) = \int_{-\infty}^{\infty} d\tau e^{i\omega\tau} f(\tau) \theta(\tau)$

Inverse Transformation: $f(\tau) \theta(\tau) = \int_{-\infty}^{\infty} \frac{d\omega}{2\pi} \tilde{f}_{\text{ret}}(\omega) e^{-i\omega\tau}$

Es folgt, wie in der Analyse der retardierten Greenschen Funktion auf Seite 58, dass die Polstellen in der unteren Halbebene liegen:

$$\tilde{f}_{\text{ret}}^{(0)}(\omega) = \frac{C_0}{\omega_0 - \omega - iy}$$


x $\omega_0 - iy$, $y > 0$

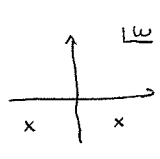
Außerdem verlangen Symmetrien dass $\tilde{f}_{\text{ret}}(-\omega) = \tilde{f}_{\text{ret}}^*(\omega)$ gilt.

Um dieses zu erfüllen nehme entsprechende "Projektion":

$$\tilde{f}_{\text{ret}}^{(0)}(\omega) = \frac{1}{2} \left[\tilde{f}_{\text{ret}}^{(0)}(\omega) + \tilde{f}_{\text{ret}}^{(0)*}(-\omega) \right] + \frac{1}{2} \left[\tilde{f}_{\text{ret}}^{(0)}(\omega) - \tilde{f}_{\text{ret}}^{(0)*}(-\omega) \right]$$

richtige Symmetrie falsche Symmetrie \rightarrow kann nicht da sein

Ein guter Ansatz ist also

$$\tilde{f}_{\text{ret}}(\omega) = \frac{C_0}{2} \left[\frac{1}{\omega_0 - \omega - iy} + \frac{1}{\omega_0 + \omega + iy} \right]$$


$$= \frac{C_0}{2} \frac{2\omega_0}{\omega_0^2 - (\omega + iy)^2} = \frac{C_0 \omega_0}{\omega_0^2 + y^2 - \omega^2 - 2i\omega y}$$

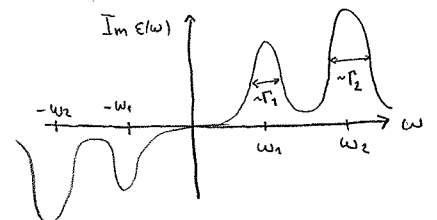
Im Lorentz-Modell redefiniert man $\omega_0^2 + y^2 =: \omega_a^2 ; \quad 2y =: \Gamma_a ; \quad C_0 \omega_0 =: \Omega_a^2$

$$\Rightarrow \tilde{f}_{\text{ret}}(\omega) := \sum_a \frac{\Omega_a^2}{\omega_a^2 - \omega^2 - i\omega \Gamma_a}$$

"Summe über Resonanzen"

$$\Rightarrow \text{Im } \epsilon(\omega) = \sum_a \frac{\Omega_a^2 \omega \Gamma_a}{(\omega_a^2 - \omega^2)^2 + \omega^2 \Gamma_a^2}$$

"Spektralfunktion"



Beispiel

Für einen Leiter (ein Metall) gelte $\omega_1 := 0$.

Für kleine ω ist also

$$\epsilon(\omega) \approx 1 - \frac{\Omega_1^2}{\omega(\omega + i\Gamma_1)} + \sum_{a \geq 2} \frac{\Omega_a^2}{\omega_a^2} \stackrel{\omega \rightarrow 0}{\approx} \underbrace{\epsilon_0}_{:= 1 + \sum_{a \geq 2} \frac{\Omega_a^2}{\omega_a^2}} + \frac{i\Omega_1^2}{\omega\Gamma_1}$$

D.h. $\epsilon(\omega)$ divergiert im statischen Limes!
(vgl. Seite 71)

Aber wir können auch mehr erfahren:

$$\tilde{D}(\omega, \vec{x}) = \epsilon(\omega) \tilde{E}(\omega, \vec{x}) = \epsilon_0 \tilde{E}(\omega, \vec{x}) + \frac{i}{\omega} \frac{\Omega_1^2}{\Gamma_1} \tilde{E}(\omega, \vec{x}) \quad (*)$$

Maxwell II:

$$\nabla \times \vec{H} - \frac{1}{c} \dot{\vec{B}} = \frac{4\pi}{c} \vec{j}_{ext}$$

In Fourier-Darstellung $(\vec{D}(t, \vec{x}) = \int_{-\infty}^{\infty} \frac{d\omega}{2\pi} \tilde{D}(\omega, \vec{x}) e^{-i\omega t})$:

$$\nabla \times \tilde{H} + \frac{i\omega}{c} \tilde{D} = \frac{4\pi}{c} \tilde{j}_{ext}$$

Einsatz von (*) \Leftrightarrow

$$\nabla \times \tilde{H} + \frac{i\omega}{c} \epsilon_0 \tilde{E} = \frac{4\pi}{c} \left[\tilde{j}_{ext} + \frac{1}{4\pi} \frac{\Omega_1^2}{\Gamma_1} \tilde{E}(\omega, \vec{x}) \right]$$

Wir identifizieren von hier das „Ohmsche Gesetz“:

$$\begin{array}{ccc} \vec{j}_{ind} = \underbrace{\beta}_{\text{„induziert“}} \vec{E} & & \uparrow \text{Leitfähigkeit} \\ \beta = \frac{1}{4\pi} \frac{\Omega_1^2}{\Gamma_1} \end{array}$$

Für Nichtleiter ($\omega_1 \neq 0$) gibt es keinen solchen Term bei $\omega \rightarrow 0$; für größere ω dagegen verschwindet der Unterschied zwischen Leitern und Nichtleitern allmählich.

Bemerkung

Im Kapitel 3.5 (Seite 83) betrachteten wir „langsame“ Schwingungen, $\omega \ll \gamma_{\vec{p}}^{-1}$. Was ist $\gamma_{\vec{p}}$ im Lorentz-Modell?

Für Nichtleiter, mit $\Gamma_1 \ll \omega_1$, können wir $\gamma_{\vec{p}}^{-1}$ mit ω_1 identifizieren, weil in diesem Bereich $\epsilon(\omega) = \text{const.}$ gilt.

Für Leiter ist dann aber $\frac{1}{\gamma_{\vec{p}}} = 0$, und es gibt keine Wellenlösungen bei kleinen Frequenzen.

(vgl. Blatt 8)

Dispersion

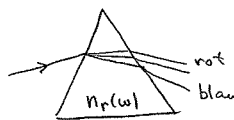
Für $\epsilon(\omega) = 0$ existiert eine Wellenlösung falls $\omega^2 = \frac{c^2 k^2}{n_r^2(\omega)}$.

Wenn dies für ω gelöst wird erhalten wir eine Dispersionsrelation $\omega = \omega(k)$.

Falls $n_r(\omega)$ nicht konstant ist, ist die Funktion $\omega(k)$ nichtlinear, welches zu Dispersionseffekten führt, genau wie in der Hydrodynamik (Kapitel 1.6; Seite 82):

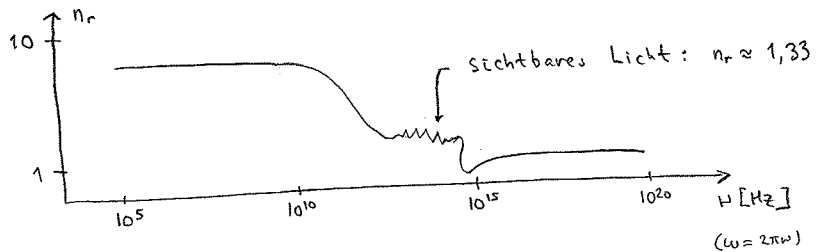


Auch: Phasengeschwindigkeit $v_p = \frac{\omega(k)}{k} \neq$ Gruppengeschwindigkeit $v_g = \frac{d\omega(k)}{dk}$
 Und Brechung:



← aus Grenzbedingungen mit $n_r \neq 1$.

Für Wasser:



Absorption / Dämpfung / Dissipation

Für $\kappa(\omega) > 0$ verliert die Welle Energie an die Materie; Materietemperatur steigt an, wie im Mikrowellenherd. Das bedeutet auch, dass das Medium nicht mehr transparent ist.

Für Wasser:

